УДК 538.951

Лазерная наплавка металлокерамических покрытий TiB₂-Ni с использованием вакуумной металлизации

Е.О. Баянова

Научный руководитель: к.т.н., Д.В. Сиделёв Научный исследовательский Томский политехнический университет, Россия, г. Томск, пр. Ленина, 30, 634050 E-mail: eob14@tpu.ru

Laser cladding of metal-ceramic TiB2-Ni coatings using vacuum metallization

E.O. Bayanova

Scientific Supervisor: Ph.D., D.V. Sidelev Tomsk Polytechnic University, Russia, Tomsk, Lenin str., 30, 634050 E-mail: eob14@tpu.ru

Abstract. This paper investigates the effect of vacuum metallization on laser cladding coating. Nickel was deposited by magnetron sputtering on TiB_2 powder, then the coating of Ni and TiB_2 was obtained by laser cladding. TiB_2 -Ni coatings without and with vacuum metallization were studied by XRD and SEM methods. It was shown that the coating has more uniform morphology when vacuum metallization was used.

Key words: titanium diboride, nickel, laser cladding, protective coating, magnetron sputtering.

Введение

Технология лазерной наплавки подходит для нанесения металлокерамических покрытий, предназначенных для уменьшения эрозии и коррозии изделий в химически активных средах [1]. Но имеется рад ограничений при получении таких покрытий: высокая пористость, дефектность, возможны нарушения сплошности. Предлагаемый путь их преодоления — предварительная вакуумная металлизация керамической составляющей покрытия. Ожидается, что при оптимальных параметрах обработки металлическое покрытие, нанесенное на порошок, будет связывать воедино порошок керамики и металла. Для металлизации порошка в данной работе выбран метод магнетронного распыления, по той причине, что такие покрытия имеют высокую адгезию и однородную микроструктуру [2–4].

Для исследования использовалось покрытие TiB_2+Ni , так как TiB_2 имеет высокую твердость, устойчивость к окислению [5, 6], а Ni обладает коррозионной стойкостью и высокой пластичностью.

Таким образом, цель работы – установить влияние вакуумной металлизации на свойства покрытий TiB₂-Ni, полученных лазерной наплавкой.

Экспериментальная часть

Исходно использовались подложки из стали 12X18H10T. Никелирование осуществлялось при давлении Ar 0,2 Па и при мощности распыления 550 Вт. Были подготовлены порошки TiB_2 различной длительностью обработки: $1TiB_2$ – исходный, $2TiB_2$ – 75 мин, $3TiB_2$ – 150 мин. После керамический порошок смешивался с порошком Ni в массовом соотношении 45:55. Лазерная наплавка проводилась на установке «Луч», спроектированной в НИ ТПУ, при мощности лазерного излучения 80 Вт, скорости его сканирования 13 мм/с и при повышенном давлении аргона 0,5 атм.

Для изучения структурных свойств образцов использовались методы рентгеновской дифракции и сканирующей электронной микроскопии.

Результаты

На рис. 1 представлены спектры дифракции порошка TiB_2 в исходном состоянии и после вакуумной металлизации. По рефлексам на углах 52° и 76° видно, что покрытие из Ni формируется на поверхности частиц порошка TiB_2 .

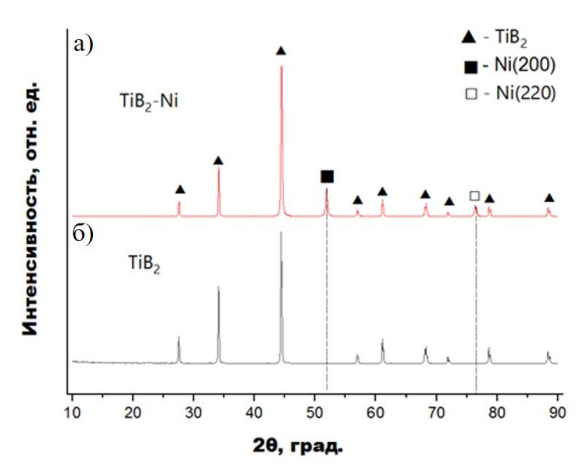


Рис. 1. Спектры рентгеновской дифракции никелированного (a) и исходного порошка (б) TiB₂

На рис. 2 представлены СЭМ-изображения керамического порошка с покрытием из Ni и без него. Результаты показывают, что порошок имеет оскольчатую форму и частично покрыт никелем в случае применения вакуумной металлизации.

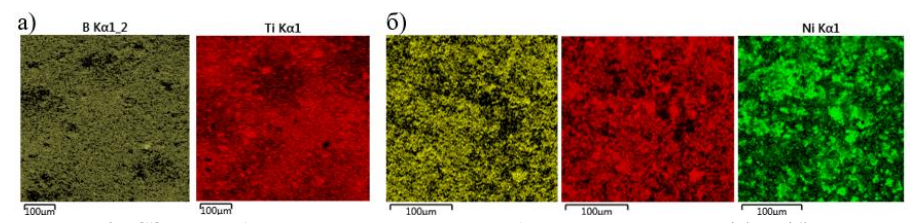


Рис. 2. СЭМ-изображения порошка ТіВ2 до никелирования (а) и (б) после

На рис. 3, а—в представлены рентгеновские спектры наплавленных покрытий, где показано, что на поверхности образцов образуется оксиды. Дополнительно была проведена операция шлифования покрытия для удаления поверхностного слоя $(0,1\,\mathrm{mm})$. Повторное исследование образцов показало наличие пиков TiB_2 только у образца $1\mathrm{TiB}_2$ (рис. 3, e).

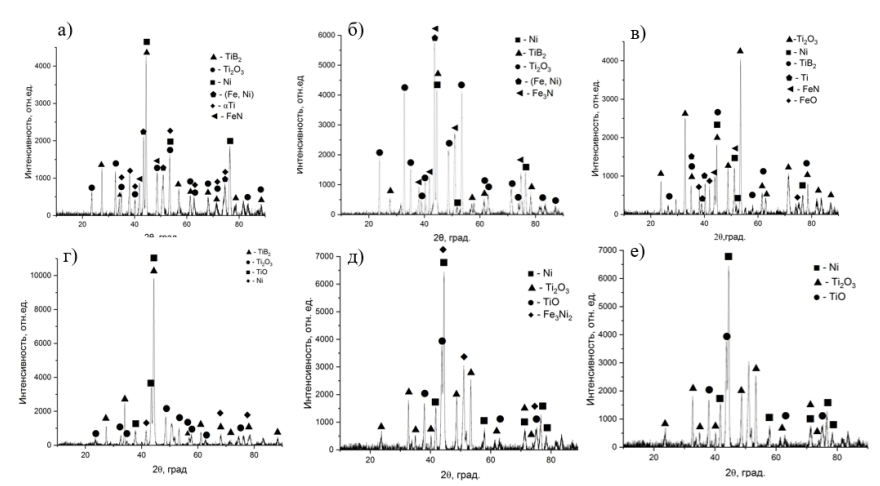


Рис. 3. Рентгеновская дифракция поверхности образцов 1TiB2 (a), 2TiB2 (б), 3TiB2 (в) после наплавки, и образцов 1TiB2 (г), 2TiB2 (д), 3TiB2 (е) после шлифовки

На рис. 4 представлены СЭМ-изображения поверхности образцов. Видно, что наиболее развитую морфологию поверхности имеют образцы 1TiB_2 (рис. 4, а) и 3TiB_2 (рис. 4, б) наиболее однородную морфологию имеет образец 2TiB_2 (рис. 4, в).

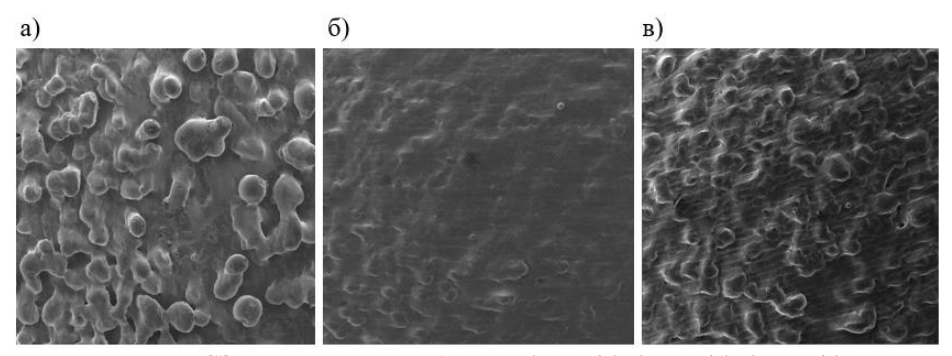


Рис. 4. СЭМ поверхности образцов 1TiB₂ (а), 2TiB₂ (б), 3TiB₂ (в)

Заключение

Показано, что вакуумная металлизация может быть применена для никелирования керамического порошка TiB_2 для его последующего применения в лазерной наплавке. Такой подход позволяет улучшить морфологию получаемого металлокерамического покрытия. Тем не менее, результаты рентгеновской дифракции показывают, что при лазерной наплавке керамическая составляющая TiB_2 распадается до более простых фаз.

Работа выполнена при финансовой поддержке Министерства науки и высшего образования Российской Федерации в рамках ГЗ "Наука", проект № FSWW-2024-0001.

Список литературы

- 1. Лобанов М.Л., Кардонина Н.И., Россина Н.Г., Юровских А.С. Защитные покрытия: учебное пособие. Екатеринбург: Издательство Уральского университета, 2014. 202 с.
- 2. Xiaozheng Yu, Zhigang Shen Metal copper films coated on microparticle substrates using an ultrasonic-assisted magnetron sputtering system // Powder Technology. − 2008. − № 187. − P. 239–243.
- 3. Fernandes C.M., Ferreira V.M., Senos A.M.R., Vieira M.T. Stainless steel coatings sputter-deposited on tungsten carbide powder particles // Surface and Coatings Technology. 2003. Vol 176. P. 103–108.
- 4. Shishkin A., Khusainova I., Kozlov V., Lisnanskis M., Leroy P., Lemhus D. Metal-coated cenospheres produced by magnetron sputtering: a new precursor to syntactic foams // Metal-polymer matrix composites. $-2018. N_{\odot} 70. P. 1319-1325.$
- 5. Vajdi M., Moghanlou F.S., Nekahi S., Ahmadi Z., Motallebzadeh A., Jafarzadeh H., Asl M.S. Role of Graphene Nano-platelets on Thermal Conductivity and Microstructure of TiB₂–SiC Ceramics // Ceramics International. 2020. Vol. 46, Is. 13. P. 21775–21783.
- 6. Крутский Ю.Л., Черкасова Н.Ю., Гудыма Т.С., Нецкина О.В., Крутская Т.М. Дибориды некоторых переходных металлов: свойства, области применения и методы получения. Часть 1. Дибориды титана и ванадия (обзор) // Дибориды некоторых переходных металлов: свойства, области применения и методы получения. Часть 1 Дибориды титана и ванадия (обзор). -2021.-N 64. С. 149-164.